

01;05;07;08

## КОЛЛИНЕАРНОЕ АКУСТООПТИЧЕСКОЕ ВЗАИМОДЕЙСТВИЕ В КУБИЧЕСКИХ ЦЕНТРОСИММЕТРИЧНЫХ КРИСТАЛЛАХ ПРИ НАЛИЧИИ ВНЕШНЕГО ЭЛЕКТРИЧЕСКОГО ПОЛЯ

© С.Н.Курилкина

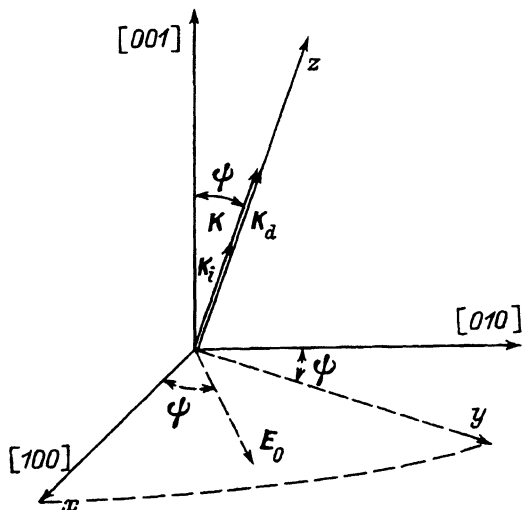
Гомельский государственный университет,  
246699 Гомель, Белоруссия  
(Поступило в Редакцию 11 января 1995 г.)

Рассмотрены особенности коллинеарного акустического взаимодействия в центросимметричных кубических кристаллах с электроиндуцированной анизотропией. Показано, что такое взаимодействие можно использовать для создания фильтров и спектроанализаторов, перестраиваемых как путем изменения частоты ультразвука, так и величины внешнего электрического поля. Найдена зависимость ширины полосы пропускания фильтра от направления распространения ультразвука, ориентации внешнего электрического поля и величины квадратичных электрооптических коэффициентов. Минимальная ширина линии достигается, когда волновые векторы звуковой и световой волн расположены в плоскости (100) под углом  $\pi/4$  к оси [001], а внешнее электрическое поле ориентировано ортогонально волновому вектору звука под углом  $\varphi \geq \pi/4$  к оси [100].

Исследование коллинеарного акустического (АО) взаимодействия представляет существенный интерес в связи с возможностью широких практических применений (см., например, [1-4]).

В настоящей работе рассматривается дифракция света на акустических волнах в случае их коллинеарного распространения в кубических центросимметричных кристаллах (например,  $\text{BaTiO}_3$ ,  $\text{SrTiO}_3$ ,  $\text{KTiO}_3$  и др.) при наличии внешнего электрического поля и обсуждается возможность использования данного взаимодействия при разработке АО фильтров и спектроанализаторов.

Пусть в плоскости (100) кубического кристалла класса  $m\bar{3}m$  под некоторым углом  $\psi$  к кристаллографической оси [001] распространяются световая и звуковая волны (см. рисунок). Положим также, что ортогонально последним приложено внешнее электрическое поле  $E_0$ . Используем систему координат, ось  $z$  которой совместим с направлением волновой нормали акустической волны, а ось  $x$  — с осью [100], вектор  $E_0$  образует с последней угол  $\varphi$ . Как известно (см., например, [1]), в результате воздействия внешнего электрического поля кубический



Геометрия взаимодействия ( $k_{i,d}$ ,  $k$  — соответственно волновые векторы световой и звуковой волн).

кристалл оказывается двупреломляющим, т. е. в одном направлении с различными скоростями распространяются две электромагнитные волны

$$\begin{aligned} \mathbf{E}_1 &= A_1 \mathbf{a}_1 \exp i[(k_0 + q_2)z - \omega t], \\ \mathbf{E}_2 &= A_2 \mathbf{a}_2 \exp i[(k_0 + q_1)z - \omega t], \end{aligned} \quad (1)$$

где  $A_{1,2}$  — амплитуды;  $\omega$  — частота;  $k_0 = (\omega/c)n$  — волновое число,  $n$  — оптический показатель преломления кристалла;  $\mathbf{a}_{1,2}$  — векторы поляризации, определяемые соотношением

$$\mathbf{a}_1 = (\mathbf{e}_1 - \kappa \mathbf{e}_2) / \sqrt{1 + \kappa^2}, \quad \mathbf{a}_2 = (\mathbf{e}_2 - \kappa \mathbf{e}_1) / \sqrt{1 + \kappa^2}, \quad (2)$$

$\mathbf{e}_k$  — орты используемой координатной системы.

Электроиндуцированные добавки  $q_1$  и  $q_2$  к невозмущенному волновому числу  $k_0$  имеют вид

$$q_{1,2} = \frac{\omega^2}{4c^2 k_0} \left\{ \Delta \varepsilon_{11}^{el} + \Delta \varepsilon_{22}^{el} \pm \left[ (\Delta \varepsilon_{11}^{el} - \Delta \varepsilon_{22}^{el})^2 + 4 \Delta \varepsilon_{12}^{el} \Delta \varepsilon_{21}^{el} \right]^{1/2} \right\}, \quad (3)$$

причем

$$\kappa = \omega^2 \Delta \varepsilon_{12}^{el} / \left[ c^2 \left( 2k_0 q_1 - \frac{\omega^2}{c^2} \Delta \varepsilon_{11}^{el} \right) \right], \quad \Delta \varepsilon_{ij}^{el} = -\varepsilon^2 R_{ijkl} E_{k_0} E_{l_0},$$

$R_{ijkl}$  — тензор квадратичных электрооптических коэффициентов,  $\varepsilon = n^2$ .

Упругая волна, распространяющаяся в направлении оси  $z$ , создает периодическое изменение тензора диэлектрической проницаемости  $\Delta \varepsilon_{ik}^{pe} = -\varepsilon^2 p_{iklm} u_{lm}$ , где  $p_{iklm}$  — фотоупругие постоянные,  $u_{lm} = (\partial u_l / \partial x_m + \partial u_m / \partial x_l) / 2$  — упругие деформации,  $u_l$  — вектор смещения акустической волны.

Взаимодействие световой и звуковой волн на фотопупругой нелинейности приводит к появлению в области их перекрытия индуцированной электрической поляризации среды вида

$$P_i = P_i^+ + P_i^- = \frac{1}{8\pi} (\Delta\varepsilon_{ik}^{pe} + \Delta\varepsilon_{ik}^{*pe}) E_k. \quad (4)$$

Тогда волновое уравнение для напряженности дифрагированного поля принимает вид

$$\nabla^2 \mathbf{E} - \frac{(\varepsilon + \Delta\varepsilon^{el})}{c^2} \frac{\partial^2}{\partial t^2} \mathbf{E} = \frac{4\pi}{c^2} \frac{\partial^2}{\partial t^2} \mathbf{P}. \quad (5)$$

Решение волнового уравнения (5) будем искать методом связанных волн, полагая, что поле излучения в среде представимо в виде

$$\mathbf{E} = A_i(z) \mathbf{a}_i \exp i[\mathbf{k}_i \mathbf{r}_i - \omega t] + A_d(z) \mathbf{a}_d \exp i[\mathbf{k}_d \mathbf{r} - \omega_d t], \quad (6)$$

где индексами  $i, d$  обозначены соответственно падающая и дифрагированная волны.

Подставляя (6) в (5), получаем систему уравнений для определения медленно изменяющихся амплитуд  $A_{i,d}$

$$\begin{aligned} \frac{d}{dz} A_i &= ib A_d \exp(-i\Delta k z), \\ \frac{d}{dz} A_d &= ib A_i \exp(i\Delta k z). \end{aligned} \quad (7)$$

Здесь

$$b = \frac{\omega^2}{4c^2 k_0} \mathbf{a}_i \Delta\varepsilon^{pe} \mathbf{a}_d;$$

$\Delta k = (\mathbf{k}_i + \mathbf{K} - \mathbf{k}_d) \mathbf{e}_z$  — волновая расстройка;  $\mathbf{K} = \Omega/v$ ;  $\Omega$  и  $v$  — частота и фазовая скорость акустической волны. С учетом граничных условий  $A_d(0) = 0$ ,  $A_i(0) = A_{i0}$  из (7) получаем

$$\begin{aligned} A_i(z) &= \exp\left(-\frac{i\Delta k z}{2}\right) \left[ \cos sz + i \frac{\Delta k}{2s} \sin sz \right] A_{i0}, \\ A_d(z) &= \exp\left(\frac{i\Delta k z}{2}\right) \frac{ib}{s} \sin sz \cdot A_{i0}, \\ s &= \left[ |b|^2 + \left(\frac{\Delta k}{2}\right)^2 \right]^{1/2}. \end{aligned} \quad (8)$$

Относительная величина  $T$  мощности падающего пучка, преобразуемой в дифрагированный пучок на длине взаимодействия  $L$ , в соответствии с выражением (8) имеет вид

$$T = \frac{|A_d(L)|^2}{|A_i(0)|^2} = \frac{\sin^2 |b| L \sqrt{1 + \left(\frac{\Delta k}{2|b|}\right)^2}}{1 + \left(\frac{\Delta k}{2|b|}\right)^2}. \quad (9)$$

Условие Брэгга  $\Delta k = 0$  можно представить следующим образом:

$$\frac{v}{\lambda} (n_d - n_i) = f_s. \quad (10)$$

Из (10) следует, что длина волны света  $\lambda$  оказывается обратно пропорциональной частоте звука  $f_s = \Omega/2\pi$  и прямо пропорциональной электроиндуцированной оптической анизотропии. Данная особенность коллинеарного АО взаимодействия может быть положена в основу разработки перестраиваемых фильтров и спектроанализаторов.

Как известно [1], идеальный акустооптический перестраиваемый фильтр обычно работает в условиях, когда

$$|b|L = \frac{\pi}{2}, \quad (11)$$

и при выполнении фазового синхронизма (10) мощность падающей световой волны целиком переходит в дифрагированную. Подставив (11) в (9) и учитывая, что  $\mathbf{a}_i \equiv \mathbf{a}_1$ ,  $\mathbf{a}_d \equiv \mathbf{a}_2$ , определим ширину полосы  $\delta\lambda_{1/2}$  пропускания фильтра на полувысоте максимума

$$\Delta\lambda_{1/2} = \frac{2\pi \cdot 0.80\lambda^2}{\lambda L(q_1 - q_2)} = \frac{1.6\lambda^2 n}{L\sqrt{(\Delta\varepsilon_{11}^{el} - \Delta\varepsilon_{22}^{el})^2 + 4\Delta\varepsilon_{12}^{el}\Delta\varepsilon_{21}^{el}}}. \quad (12)$$

Принимая во внимание, что

$$\Delta\varepsilon_{11}^{el} = -n^4 E_0^2 [R_{11} \cos^2 \varphi + R_{12} \sin^2 \varphi],$$

$$\Delta\varepsilon_{22}^{el} = -n^4 E_0^2 \left[ R_{12} \cos^2 \varphi + \left( R_{11} - \frac{R_{11} - R_{12}}{2} (1 - \rho_E) \sin^2 2\psi \right) \sin^2 \varphi \right],$$

$$\Delta\varepsilon_{12}^{el} = -n^4 R_{44} E_0^2 \sin 2\varphi, \quad \rho_E = \frac{2R_{44}}{R_{11} - R_{12}},$$

получаем следующее выражение:

$$\Delta\lambda_{1/2} = \frac{1.6\lambda^2}{Ln^3 E_0^2 (R_{11} - R_{12}) \sqrt{(\cos 2\varphi + \frac{1-\rho_E}{2} \sin^2 2\psi \sin^2 \varphi)^2 + \rho_E^2 \sin^2 2\varphi}}. \quad (13)$$

Как следует из (13), полуширина полосы существенно зависит от длины волны падающего света, квадратичных электрооптических коэффициентов среды, длины взаимодействия, а также величины и направления внешнего электрического поля. При заданном  $E_0$  ширина полосы пропускания  $\Delta\lambda_{1/2}$  оказывается минимальной, когда функция

$$f(\psi) = \left( \cos 2\varphi + \frac{1-\rho_E}{2} \sin^2 2\psi \sin^2 \varphi \right)^2 + \rho_E^2 \sin^2 2\varphi \quad (14)$$

принимает максимальное значение. Поскольку для большинства кубических параэлектриков, к коим относятся  $\text{BaTiO}_3$ ,  $\text{SrTiO}_3$ ,  $\text{KTiO}_3$ ,  $\rho_E > 1$ , то

$$f(\psi) = \max \quad \text{при} \quad \begin{cases} \psi = 0, & \text{если } \varphi < \pi/4, \\ \psi = \frac{\pi}{4}, & \text{если } \varphi \geq \pi/4. \end{cases} \quad (15)$$

Как показывает расчет, для фильтра, построенного на основе кристалла титаната бария, при воздействии внешнего электрического поля  $E_0 \sim 2-4$  кВ/см ширина полосы пропускания  $\Delta\lambda_{1/2} \sim 30-50 \text{ \AA}$  в области спектра от 0.4 до 1 мкм.

Воспользовавшись условием (11) и уравнением для упругих волн в центросимметричных кристаллах при наличии внешнего электрического поля [5]

$$(\Pi - \rho v^2) \mathbf{u} = 0, \quad (16)$$

можно определить интенсивность звука  $I_s$ , при которой возможно 100%-ное преобразование энергии, падающей в дифрагированную волну. В выражении (16) введены обозначения  $\Pi = \Lambda + \Lambda'$ ,  $\Lambda_{ij} = c_{ijlm} n_l n_m$  — тензор Кристоффеля при  $E_0 = 0$ ,  $\mathbf{n}$  — волновая нормаль акустической волны,  $\rho$  — плотность среды,  $c_{ijlm}$  — упругие постоянные кристалла, а добавка  $\Lambda'$  к тензору Кристоффеля имеет вид

$$\Lambda' = \frac{1}{4\pi\epsilon^{st}} \mathbf{G} \cdot \mathbf{G} - \frac{1}{4\pi} \beta, \quad (17)$$

$(\mathbf{G} \cdot \mathbf{G})$  — диада,  $G_l = g_{ijkl} E_{j0} n_i n_k$ ,  $\beta_{ij} = d_{mnklj} E_{m0} E_{n0} n_k n_l$ ,  $g_{ijkl}$  и  $d_{mnklj}$  — тензоры линейной и эффективной квадратичной электрострикции,  $\epsilon^{st}$  — статическая диэлектрическая проницаемость среды. Тогда

$$\begin{aligned} b &= \frac{\pi}{2\lambda n(1 + \kappa^2)} \left[ \Delta\epsilon_{12}^{\text{fy}} (1 - \kappa^2) + \kappa(\Delta\epsilon_{11}^{\text{fy}} - \Delta\epsilon_{22}^{\text{fy}}) \right] = \\ &= \frac{\alpha\pi\kappa n^3}{\lambda(1 + \kappa^2)} \sqrt{\frac{I_{3b}}{\rho v^3}} (p_{11} - p_{12})(1 - p) \sin 2\psi \sin(2\psi - \eta). \end{aligned} \quad (18)$$

Здесь  $p = 2\rho_{44}/(p_{11} - p_{12})$ ;  $\alpha$  — модуль составляющей вектора поляризации упругой волны, лежащей в плоскости  $yz$ ;  $\eta$  — угол, образованный данной составляющей с осью  $z$ , который, как и  $\alpha$ , определяется из волнового уравнения (16),

$$\kappa = - \frac{\rho_E \sin 2\varphi}{\cos 2\varphi + \frac{1-\rho_E}{2} \sin^2 \varphi \sin^2 2\psi + \sqrt{[\cos 2\varphi + \frac{1-\rho_E}{2} \sin^2 \varphi \sin^2 2\psi]^2 + \rho_E^2 \sin^2 2\varphi}}.$$

Как видно из (18), коллинеарное акустооптическое взаимодействие оказывается запрещенным, если световая и звуковая волны распространяются вдоль кристаллографических осей [001] или [010], или же вектор внешнего электрического поля коллинеарен волновым векторам взаимодействующих волн, либо ортогонален последним, но лежит

в плоскости  $yz$ . Поэтому указанные геометрические параметры рассеяния следует исключить из рассмотрения. Кроме этого, учитывая (14), (15), следует выбирать направление приложения внешнего электрического поля  $E_0$ , исходя из требования  $\varphi \geq \pi/4$ , чтобы наряду с возможностью реализовать акустооптическое взаимодействие выполнялось условие (15) минимальности ширины спектральной линии.

Отметим, что для малых внешних полей величина  $\alpha \sim 1$  для случая дифракции на упругой волне, которая в отсутствие поля  $E_0$  является квазипродольной либо квазипоперечной.

Интенсивность звука, при которой осуществляется полное преобразование энергии падающей волны в дифрагированную, как следует из (18), определяется выражением

$$I_s = \left[ \frac{\lambda(1 + \kappa^2)}{2\alpha \kappa n^3 L(p_{11} - p_{12})(1 - p) \sin 2\psi \sin(2\psi - \eta)} \right]^2 \rho v^3. \quad (19)$$

Для случая  $\psi = \pi/4$ , соответствующего выполнению условия минимальности ширины спектральной линии фильтра, из (19) следует

$$I_s \Big|_{\psi = \frac{\pi}{4}} = \left[ \frac{\lambda(1 + \kappa^2)}{2\alpha \kappa n^3 L(p_{11} - p_{12})(1 - p) \cos \eta} \right]^2 \rho v^3. \quad (19a)$$

Из выражения (19a) видно, что величина интенсивности звука, соответствующей полному преобразованию энергии падающей волны в дифрагированную, оказывается существенно зависящей от фотоупругих и диэлектрических свойств среды, а также (в меньшей степени) от величины и направления приложенного внешнего электрического поля. В случае фильтра на кристалле титаната бария при  $\lambda = 0.6328$  мкм,  $\psi = \pi/4$ ,  $\varphi = \pi/4$  интенсивность квазипродольной звуковой волны, при которой имеет место полное преобразование энергии падающей световой волны в дифрагированную, составляет  $\sim 8.5$  Вт/см<sup>2</sup>.

Разрешающая способность  $R$  и угловая апертура  $\psi_{1/2}$  перестраиваемого фильтра определяются выражениями

$$R = \frac{\lambda}{\Delta\lambda_{1/2}} = \frac{Ln^3 E_0^2 (R_{11} - R_{12}) \sqrt{(\cos 2\varphi + \frac{1-\rho_E}{2} \sin^2 2\psi \sin^2 \varphi)^2 + \rho_E^2 \sin^2 2\varphi}}{1.6\lambda}, \quad (20)$$

$$\psi_{1/2} = \left( \frac{\Delta\lambda_{1/2}}{\lambda} \right)^{1/2} =$$

$$= \left[ \frac{1.6\lambda}{Ln^3 E_0^2 (R_{11} - R_{12}) \sqrt{(\cos 2\varphi + \frac{1-\rho_E}{2} \sin^2 2\psi \sin^2 \varphi)^2 + \rho_E^2 \sin^2 2\varphi}} \right]. \quad (21)$$

Отметим, что угловая апертура АО фильтра на титанате бария составляет  $4-5^\circ$  во всей области спектра.

Существенными преимуществами данных устройств являются возможность осуществления фильтрации в ИК области без существенного

уменьшения разрешающей способности и уширения полосы пропускания, а также большая угловая апертура. Однако данное акустооптическое взаимодействие может быть использовано не только для выделения узкого спектрального диапазона, но и при разработке спектроанализатора. Условие (10) может быть представлено следующим образом:

$$\lambda = \frac{vn^3 E_0^2}{2f_s} (R_{11} - R_{12}) \sqrt{\left[ \cos 2\varphi + \frac{1 - \rho_E}{2} \sin^2 \varphi \sin^2 2\psi \right]^2 + \rho_E^2 \sin^2 2\varphi}. \quad (22)$$

Тогда, изменяя частоту звука  $f_s$  и величину внешнего электрического поля, можно осуществлять перестройку по спектру независимо по двум каналам. Кроме этого, можно использовать изменение звуковой частоты  $f_s$  для грубой настройки на максимум спектральной линии, а величины  $E_0$  — для более точной настройки. Как показывает расчет, для титаната бария область анализируемых частот может охватывать 0.4–1 мкм, при этом используются внешние поля 1–4 кВ/см; область используемых звуковых частот 2.6–14 МГц, акустическая волна является квазипродольной.

Таким образом, полученные в работе соотношения могут быть использованы для расчета перестраиваемых фильтров и спектроанализаторов на кубических центросимметричных кристаллах во внешнем электрическом поле. Их достоинствами являются возможность работать в ИК диапазоне с неплохим разрешением, низкие (реально достижимые) уровни ультразвуковой мощности, требуемой для полного преобразования энергии падающей световой волны в дифрагированную, низкие акустические частоты, вследствие чего на ширину спектральной линии не оказывает влияния поглощение звука, а также возможность одновременной перестройки по спектру и анализа по двум независимым каналам.

В заключение автор выражает глубокую признательность В.Н. Белому за ряд полезных замечаний, высказанных при обсуждении работы.

Настоящая работа поддержана Фондом фундаментальных исследований Республики Беларусь.

#### Список литературы

- [1] Яриш А., Юх П. Оптические волны в кристаллах. М.: Мир, 1988.
- [2] Клуздин В.В., Кулаков С.В., Разживин Б.П. // ФТТ. 1976. Т. 18. Вып. 9. С. 2827–2830.
- [3] Ананьев Е.Г., Пустовойт В.И. // ФТТ. 1987. Т. 29. Вып. 4. С. 1214–1217.
- [4] Бондаренко В.С., Вышевский О.А., Переломова Н.В., Чирков Л.Е. // Кристаллография. 1986. Т. 31. № 2. С. 333–336.
- [5] Белый В.Н., Северук Б.Б., Хаткевич А.Г. // Кристаллография. 1986. Т. 31. № 1. С. 5–11.